

## I-15 衝突噴流の特性について

山口大学工学部 正会員 斎藤 隆  
 ○学生員 赤司 信義  
 大林組 田島 勝

### 1. まえがき

側直噴流による局所洗浄機構をしるため、船直二次元噴流が壁面に衝突した後の流れの特性について、実験的検討を行った。洗浄の初期の流れの状態は、粗面固定床の流れと大差ないと考えられる。本報告は、砂移動を規定するところの壁面せん断力を評価するために、主として相面に発達する境界層の特性について実験的に検討を行った結果である。

### 2. 実験装置及び実験方法

実験水槽は、幅 20 cm, 深さ 110 cm, 長さ 190 cm の両面有機ガラス張りの鋼枠製水槽を使用した。噴出端口は  $2\text{cm} \times 20\text{cm}$  の矩形断面とし、粗面固定床として有機ガラス床に砂をはりつけた。排水は円形オリフィスを採用した。流速の測定は、厚さ 1.1 mm, 幅 67 mm のピトー管をステンレス管にて作製した。それをホールドゲージによりつけ 10 gr 又は 20 gr の差圧計を使用し、途中に  $\phi 1.1\text{mm}$  のステンレスパイプ部のダンパーをとりつけ、パン青玉オシログラフに接続した。実験は噴出孔より壁面までの距離  $s/B_0 = 5, 10, 20$ , 噴出速度  $U_0$  は 80 ~ 240 cm/sec で、砂の粒径を 0.1 mm, 0.2 mm, 0.4 mm の 3 種を用いて行った。

### 3. 実験結果とその検討

Fig 1 は  $s/B_0 = 10$  の境界層より上部の流速分布である。粗面床においても、自由噴流の流速分布で近似される。Fig 2 は  $s/B_0 = 10, d_{B_0} = 0.2, U_0 = 2\text{m/sec}$  の境界層内平均流速分布で、管路流れと同様に対数分布として、近似される事が認められる。Fig 3 は最大流速の進成を示したもので、比較のために固定床導面での値を入れている。壁面相度による最大流速の差異は、明瞭ではないが、導面と粗面では、はっきりと違いが認められる。なお図中の実線は自由噴流における最大流速の進成である。Fig 4 は境界層外(主流部)の流れの幅  $s/B_0$  (最大流速の  $1/2$  处) とズル出口からの流速換算距離  $S/B_0$  を示したものである。

$$S/B_0 = s/B_0 - (0.16f + 0.33f)/B_0$$

図中の実線は自由噴流の流れの幅を示す。粗面床においても、導面床と同様に、主流部の流れの幅は、溝過

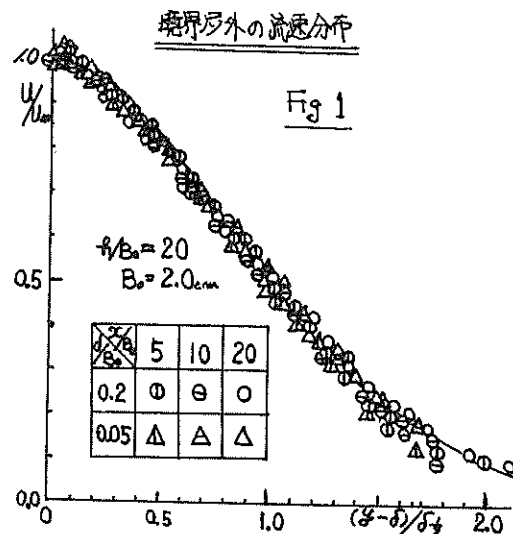


Fig 1  
境界層外の流速分布

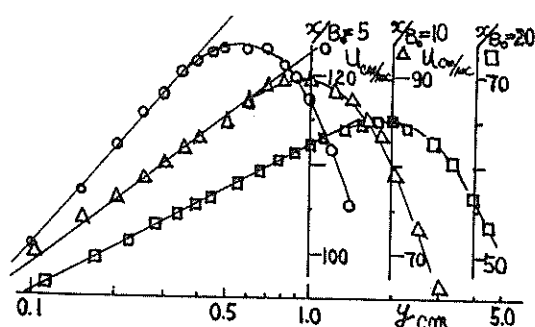
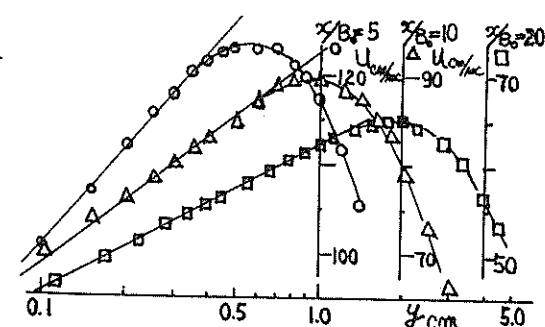


Fig 2  
境界層内平均流速分布



換算距離  $S/B_0$  を用いると自由噴流における流れの場の変化にはほぼ近似される。そこでは砂粒径の影響は、は、は、より認められない。  
Fig 5 は境界層の厚さ  $\delta/B_0$  を噴流衝突点からの距離  $S/B_0$  で表したものである。この図から分かるように、砂粒径が大きくなると境界層厚さは大きくなり、その発達する割合も大きくなっているが、流速の変化による境界層厚さの変化は認められない。

Fig 6 は壁面抵抗係数  $C_x$  を  $Re$  数 ( $U_{in}d/B_0$ ) で示したものである。 $C_x$  の決定は Fig 2 で示された様に境界層内流速分布は、(ほぼ)対数則に従っているので、 $y/B_0$  の勾配が 5.75 であるものとして行った。この図より、嘗て流れにおけるように  $\delta/B_0$  の値をパラメータとして、 $C_x$  が  $Re$  数によって変化する事がみられる。すなばく、 $C_x$  は小さく、又  $Re$  数が大きい程、 $C_x$  が小さくなる傾向が認められる。

#### 4 結論

衝突後主流部流れの流速分布形はほぼ自由噴流のものと等しく、流れの代表距離  $B_0$  は流速換算距離  $S/B_0$  を用いれば、拘束係数  $d = 6.93$  で  $1 + \frac{S}{B_0}$  ではなくてほぼ想定できる。最大高さはほぼ衝突点より (0.2~0.3)  $R$  の範囲で増大し、その後ほぼ一束で減少し (1~1.5)  $R$  より以後は  $-1/2$ 乗で減少している。

境界層厚さは壁面粗度の大きい程大きくになっている。壁面抵抗係数  $C_x$  は剛体壁にかなりの散乱がみられるが、 $\delta/B_0$  が大きい程大きく、又  $Re$  数 ( $U_{in}d/B_0$ ) が大きいると減少する傾向が認められた。

#### 参考文献

- Schlichting, H: Boundary Layer Theory
- 斎藤隆：境界層理論とその応用特性
- Glaumet: The Wall jet.

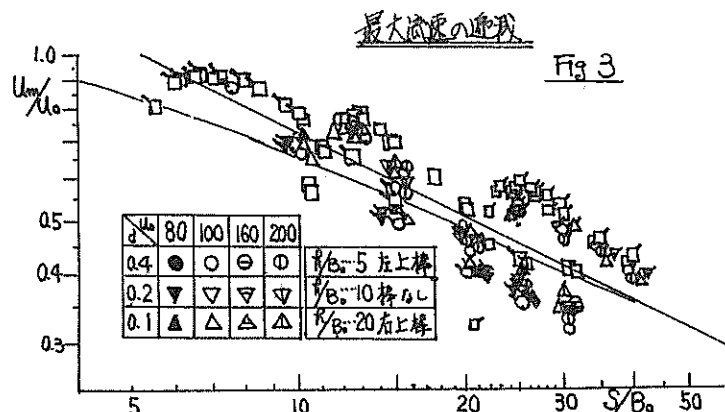
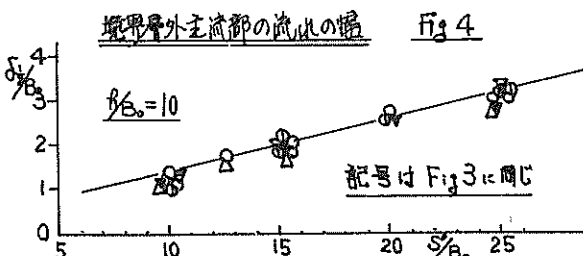
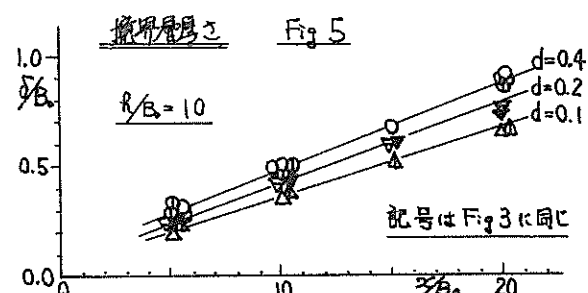


Fig 3



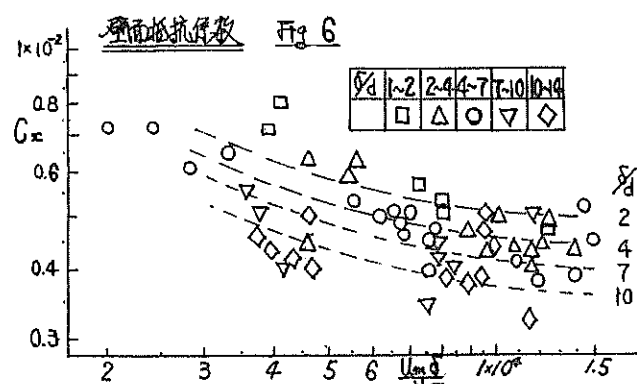
境界層外主流部の流れの場

Fig 4



境界層厚さ

Fig 5



壁面抵抗係数

Fig 6